

QAFI v.4 Field's description



DESCRIPTION OF THE DATABASE FIELDS (QAFI V.4)

This document supersedes formerly *QAFI_v3_Fields-Description.pdf*.

The database fields are here described following the same order as they appear in the on-line generated reports, which is very similar to the structure shown in the Access version. Apart from the fields described below, there are three additional and complementary fields called: **Variability/Error**, **Source** and **Brief Comment**. For learning about these specific fields refer to *QAFI v.3 User's Guide* (García-Mayordomo and Martín-Banda, 2015: doi 10.13140/RG.2.1.3534.2569).

Note: Further information can be found in "Guide for the use of QAFI v.4" ([QAFI_v4_Guide.pdf](#))

IDENTIFICATION-COMPILATION

ID (Identification code)

The first two letters indicate the country where the fault or most of the fault is located (e.g., ES: Spain, PO: Portugal, FR: France). When the fault is located offshore the code indicates the marine context (e.g., ME: Mediterranean, AT: Atlantic). The following three digits is an arbitrary counter. E.g., *ES626*.

Fault Name

Common name of the fault. When the fault trace is divided in segments each one corresponds to a single record in the database. In these cases, the Fault Name field also indicates the number of the segment out of the total number of segments. E.g., *Alhama de Murcia (1/4)*.

There are some faults that have an additional record to account for the complete trace of the fault -apart from the individual records corresponding to each segment. In those faults the Fault Name field includes the term "complete". E.g., *Catí (complete)*.

Section Name

Common name of the fault-section (in case the main fault is divided in different sections). E.g., *Góñar-Lorca*. This field was formerly called "Segment Name" in v.3. See García-Mayordomo et al. (2018) for further information on this change.

Identification Method

It indicates the main method for identifying the fault. E.g., *Geological/Geomorphological mapping, geophysics (multichannel seismic profiles),...*

Geological and Geographical Set

Indicates the geological region where the fault is located followed by an additional geographical reference in brackets. E.g., *Betic Range (Murcia)*

Location X

Longitude geographic coordinates of the *origin point* of the fault trace in ETRS89 datum. This is a numeric field that should show at least three decimals. The *origin point* is the first vertex of the fault trace polyline

QAFI v.4 Field's description



corresponding to the extreme that looking along the trace the dip is to the right (right-hand rule). See figure 1 in next section. E.g., -1.696

Location Y

Latitude geographic coordinates of the *origin point* of the fault trace in ETRS89 datum. This is a numeric field, is recommended to show at least three decimals. The *origin point* is the first vertex of the fault trace polyline corresponding to the extreme that looking along the trace the dip is to the right (right-hand rule). See figure 1 in next section. E.g., 37.678

Name of the compiler

Name/s of the compilers. E.g. *Martínez-Díaz, J.J., Ortuño Candela, M., Masana, E., García-Mayordomo, J.*

Filiation

Filiation/s of the compilers. E.g. *UCM, UNAM, UB, IGME*

Email

Email of the first compiler

Last update

Date of last update. E.g., *15/10/2013*

GEOMETRY AND KINEMATICS

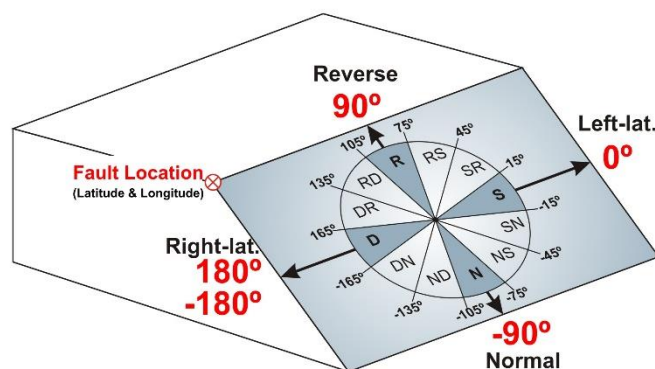
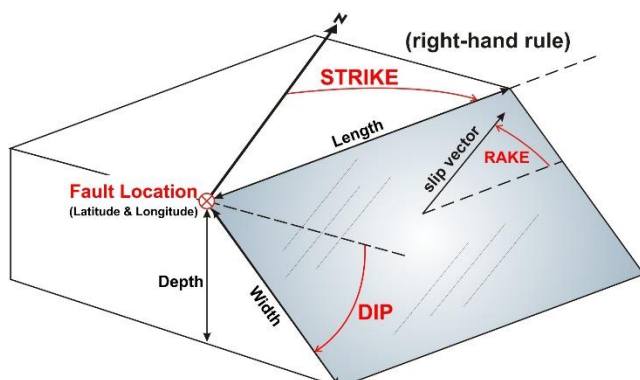


Figure 1: Conventions for Location, Strike and Rake.

Figure 2: Conventions for Rake and Sense of Movement

Average Strike

Azimuth of the fault plane following the right-hand rule (see figure 1). Three digits. E.g., 215

Dip

Dip of the fault. E.g., 70

QAFI v.4 Field's description



Rake

Rake of the stria (slip vector). See figure 2 for conventions. 0° and 180° account for pure sinistral and dextral strike slip, respectively. 90 and -90° for pure reverse and normal slip, respectively (Aki & Richards, 1980). E.g., 20

Sense of movement

This field appears automatically filled after inputting rake, though it can be edited apart. R: Reverse, N: Normal, D: Dextral, S: Sinistral, or a combination of two: DN, ND, NS, SN, SR, RS, RD, DR; or ANT: Anticline, SYN: Syncline. E.g., SR

Length

Length of the fault trace in km. E.g., 30.0

Min Depth

Minimum depth of the fault plane below the surface in km. Faults that outcrop at the surface have minimum depth of 0 km. E.g., 0.0

Max Depth

Maximum seismogenic depth of the fault in km (a value usually between 8 and 15 km; fault depth can be much deeper but this field accounts only for the section where fragile deformation occur). E.g., 12.0

Width

This field appears automatically filled after inputting the previous geometric parameters, though it could be edited apart. E.g., 12.8

Area

This field appears automatically filled after inputting the previous geometric parameters, though it could be edited apart. E.g., 383.10

QUATERNARY ACTIVITY

Quaternary Activity Evidence

Summarises the main Quaternary evidence related to the fault activity. E.g., *deformed Quaternary sediments, active-tectonics related landforms, triangular facets, offset channels, drainage pattern affections, topographic lineament,...*

Age of the youngest deposits or landforms affected by the fault

It indicates the age of the youngest deposits (sediments, formations) or Quaternary landforms affected by the fault. The age can be shown either as an absolute date (from geochronology laboratory measurements) yet as single age (e.g., 13 ka), or as a range (e.g., 10-15 ka) or minimum age (e.g., >25 ka); or in relative terms to the Quaternary stages (e.g., Upper Pleistocene). ka: kiloyears ago.

QAFI v.4 Field's description



Strength Class

Classification of the *Strength of the Quaternary Evidence*, A: Direct field-work evidence or high-resolution geophysics; B: Evidence inferred from fine-scale observations or good-quality multichannel seismic profiles (MSP); C: Broad-scale observations or poor-quality MSPs. A sign "+" after the letter class indicates consistency along fault trace. E.g., A+. Further information in García-Mayordomo and Martín Banda (2015).

Vertical Slip Rate (VSR)

Best or preferred estimation of Slip Rate measured along the vertical, in m/ky (meters/kiloyears). E.g., 0.050

Horizontal Slip Rate (HSR)

Best or preferred estimation of Slip Rate measured along the strike of the fault, in m/ky (meters/kiloyears). E.g., 0.045

Net Slip Rate (NSR)

Best or preferred estimation of Net Slip Rate (measured along the displacement vector, or inferred from VSR or HSR and Rake or Dip; see the equations in the Access form). E.g., 0.069

Accuracy Class

Classification of the *Slip Rate* estimation, A: Displacement and Age measured in the field and knowing the slip vector of the fault; B: Displacement or Age measured in the field, and slip vector is known; C: Displacement and Age inferred from regional-scale and generic Quaternary stages. E.g., B. Further information in García-Mayordomo and Martín Banda (2015).

Net Slip per Event at the Surface

Net slip per event as measured in the field or inferred from empirical/analytical relationships in meters. E.g., 0.60

Number of Seismic Events

Number of coseismic events associated to the fault in a certain time window. E.g., 3-4 in 25 ky

Evidence of Aseismic Creep

Indicates either *Yes* or *No* whether there is evidence, or suspected evidence, of creep. E.g., *No*

SEISMIC POTENTIAL

Maximum Magnitude

Estimation of the maximum potential moment magnitude (M_w) of the fault or fault-segment. E.g., 6.7. Conversely to version 3, in which this data was automatically calculated; in version 4 it is only displayed if it has been published before somewhere (Source: LD, Literature Data).

Reliability Rating of Max Magnitude

Reliability level of the Maximum Magnitude estimation, A: Highly reliable; B: Reliable; C: Poorly reliable; D: Speculative). E.g., A. Further information in García-Mayordomo and Martín Banda (2015).

QAFI v.4 Field's description



Recurrence Interval

Best or preferred estimation of the average time between major or maximum magnitude events of the fault or fault-segment, in years. E.g., 3500. Conversely to version 3, in which this data was automatically calculated; in version 4 it is only displayed if it has been published before somewhere (Source: LD, Literature Data).

Reliability Rating of Rec Interval

Reliability level of the Recurrence Interval estimation (or any other earthquake frequency parameter based on fault maximum moment and slip rate), A: Highly reliable; B: Reliable; C: Poorly reliable; D: Speculative). E.g., B. Further information in García-Mayordomo and Martín Banda (2015).

Date of last major earthquake

Date in years of the last major or maximum earthquake associated to the fault or fault-segment. E.g. 2720 BC, 4735 ka, 1550 AD,...

ASSOCIATED SEISMICITY

Are there any significant historical and/or instrumental earthquakes related to the fault activity?

Tickling in the Yes box activates the associated seismicity database (see following fields) E.g., x Yes

Name of the Event

Indicates the name by which the earthquake, or earthquake series, is commonly known. Otherwise indicates the name of the nearest village to the epicentre. E.g., *Amer earthquake*

Date

Date of the earthquake or earthquake series (free format). E.g., 19/03/1427

Location (Long., Lat.)

Longitude and latitude of the main event epicentre (free format). E.g., 2.583, 41.983

Intensity and/or Magnitude

Macroseismic intensity (EMS, MSK, ESI) and/or magnitude of the main event (free format). E.g., *IEMS98 = VIII / Mw = 5.9*

Source of Seismic Data

It indicates the main sources of information on the event. E.g., *Instituto Geográfico Nacional Catalogue, Institut Cartogràfic de Catalunya, Instituto Andaluz de Geofísica,...*

Basis for association

Indicates on what grounds the association to the fault is established. E.g., *spatial correlation, isoseisms analysis, focal mechanism, aftershocks distribution, environmental effects distribution,...*

QAFI v.4 Field's description



Brief Comment and/or References

It summarises any other relevant information and/or the main references on the event. E.g., *Fontserè and Iglésies (1972)*, *Perea (2006)*,...

EXTENDED DATA AND REFERENCES

Extended Information

Link to a compressed format file containing extended documentation of the fault or fault-segment. Please note that any documents have been uploaded since 2015.

References

List of references consulted and/or cited in the compilation of the record.

ABOUT

It shows the authorship, institutions involved and funding projects of QAFI v.4 database. There is also information on how to cite the concept of the database or a single record. All this information is available in the [About](#) of the web version.

References cited in this pdf

García-Mayordomo, J. and R. Martín-Banda (2015) *QAFI v.3 user's guide*. Instituto Geológico y Minero de España, Madrid, doi: 10.13140/RG.2.1.3534.2569

García-Mayordomo, J., C. Canora, R. Martín-Banda J.J. Martínez-Díaz, J.M. Insua-Arévalo, J.A. Álvarez- Gómez, J. Alonso-Henar, E. Masana, M. Ortuño, O. Gómez-Novell, H. Perea, Á. González, F. Martín- González, I. Martín-Rojas, E. Rodríguez-Escudero, J.M. Azañón, P. Villamor, J. Cabral, C. Moniz y R. Dias (2018) Trabajos de actualización de la base de datos de fallas activas en el cuaternario de Iberia (QAFI) a la versión 4: cambios en la forma y en el fondo. *3ª Reunión Ibérica sobre Fallas Activas y Paleosismología, 11-13 de Junio de 2018, Alicante, España*. <https://iberfault.org/home/>

QAFI v.4 Descripción de los campos



DESCRIPCIÓN DE LOS CAMPOS DE LA BASE DE DATOS

Este documento sustituye al anterior *QAFI_v3_Fields-Description.pdf*.

Los campos se describen siguiendo el mismo orden en el que aparecen en los informe generados on-line, que es muy similar al del formulario de la versión Access. Además de los campos descritos más abajo, existen tres campos adicionales y complementarios denominados: **Variability/Error** (*Variabilidad/Error*), **Source** (*Origen de la información*) and **Brief Comment** (*Breve Comentario*). Para informarse acerca de estos campos consulte la Guía del usuario de QAFI v.3, disponible en inglés y español (García-Mayordomo and Martín-Banda, 2015: doi 10.13140/RG.2.1.3534.2569).

Nota: Más información puede encontrarse en la “Guía para el uso de QAFI v.4” (*QAFI_v4_Guide.pdf*)

IDENTIFICATION-COMPILATION (Identificación-Compilación)

ID (Código identificativo)

Las dos primeras letras indican el país donde la falla o la mayor parte de la falla está localizada (e.g., ES: España, PO: Portugal, FR: Francia). Cuando la falla está localizada en el mar el código indica el contexto marítimo (e.g., ME: Mediterráneo, AT: Atlántico). Los siguientes tres dígitos son un contador arbitrario. E.g., *ES626*.

Fault Name (Nombre de la falla)

Nombre común de la falla. Cuando la traza de la falla está dividida en segmentos, cada uno de ellos se corresponde con un registro de la base de datos. En esos casos el campo Fault Name también indica el número de segmento correspondiente al registro respecto al número total de segmentos. E.g., *Alhama de Murcia (1/4)*.

Algunas fallas tienen un registro específico para considerar la longitud completa de la traza, además de los registros correspondientes a cada segmento. El campo Fault Name en estas fallas incluye el término “complete”. E.g., *Catí (complete)*.

Section Name (Nombre de la sección)

Nombre común del segmento de falla (en caso de que la falla principal haya sido dividida en segmentos). E.g., *Góñar-Lorca*. Este campo se denominaba en la versión 3 “Segment Name”. Consulte García-Mayordomo et al. (2018) si desea más información sobre este cambio.

Identification Method (Método de identificación)

Identifica el método principal usado para identificar la falla. E.g., *Geological/Geomorphological mapping, geophysics (multichannel seismic profiles),...*

Geological and Geographical Set (Marco geológico y geográfico)

Indica la región geológica donde está localizada la falla acompañada por una referencia geográfica entre paréntesis. E.g., *Betic Range (Murcia)*

QAFI v.4 Descripción de los campos



Location X (Localización X)

Coordenada geográfica en ETRS89 de la longitud del punto de origen (origin point) de la traza de falla. Es un campo numérico que al menos debe mostrar tres decimales. El punto de origen es el primer vértice de la polilínea de la traza de falla correspondiente al extremo que mirando a lo largo de la dirección de la falla el buzamiento es hacia la derecha (regla de la mano derecha). Ver la figura 1 en la siguiente sección.

E.g., -1.696

Location Y (Localización Y)

Coordenada geográfica en ETRS89 de la longitud del punto de origen (origin point) de la traza de falla. Es un campo numérico que al menos debe mostrar tres decimales. El punto de origen es el primer vértice de la polilínea de la traza de falla correspondiente al extremo que mirando a lo largo de la dirección el buzamiento es hacia la derecha (regla de la mano derecha). Ver la figura 1 en la siguiente sección. E.g., 37.678

Name of the compiler (Nombre del compilador/es)

Nombre/s de los compiladores de los datos. E.g. *Martínez-Díaz, J.J., Ortuño Candela, M., Masana, E., García-Mayordomo, J.*

Filiation (Filiaciones)

Filiaciones del compilador/es. E.g. *UCM, UNAM, UB, IGME*

Email (Correo electrónico)

Correo electrónico del primer compilador.

Last update (Fecha de la última actualización)

Fecha de la última actualización. E.g., *15/10/2013*

GEOMETRY AND KINEMATICS (GEOMETRÍA Y CINEMÁTICA)

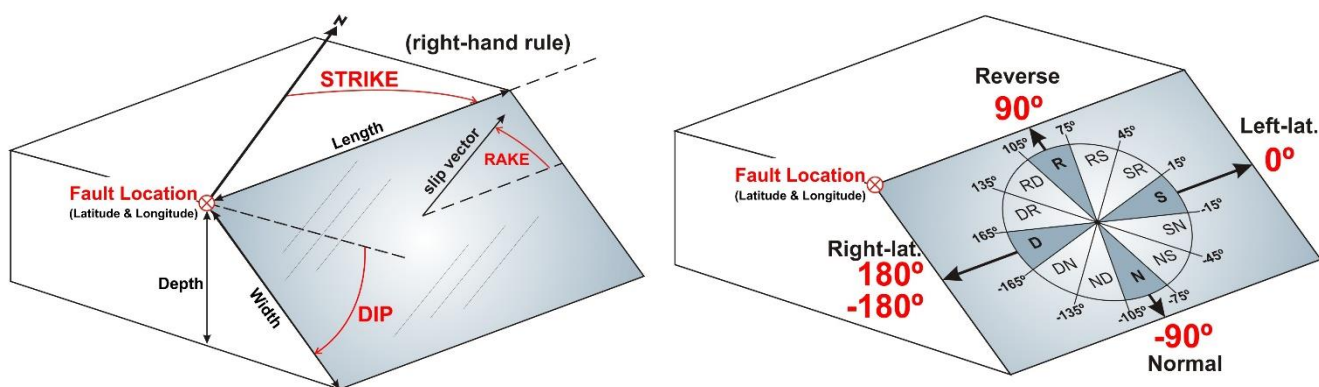


Figura 1 (izquierda): Convención usada para Location (Localización), Strike (dirección) y Rake (cabecero).

Figura 2 (derecha): Convención usada para Rake (cabecero) and Sense of Movement (sentido de movimiento).

QAFI v.4 Descripción de los campos



Average Strike (Dirección promedio)

Dirección (azimut) de la falla de acuerdo con la convención de la regla de la manera derecha (ver figura 1). Tres dígitos. E.g., 215

Dip (Buzamiento)

Buzamiento de la falla. E.g., 70

Rake (Cabeceo)

Cabeceo de la estría (vector deslizamiento de la falla). Ver la figura 2 para entender la convención usada. 0° y 180° se corresponden con movimientos puros en dirección, sinistral y dextral, respectivamente. 90 y -90° para movimientos puros en la dirección de buzamiento, inverso y normal, respectivamente (Aki & Richards, 1980). E.g., 20

Sense of movement (Sentido de movimiento)

Este campo aparece relleno de modo automático después de introducir el cabeceo de la estría de falla, aunque puede editarse aparte si es necesario. R: Inversa, N: Normal, D: Dextral, S: Sinistral, o una combinación de los dos: DN, ND, NS, SN, SR, RS, RD, DR; ó ANT: Anticlinal, SYN: Sinclinal. E.g., SR

Length (Longitud)

Longitud de la traza de falla en km. E.g., 30.0

Min Depth (Profundidad mínima)

Profundidad mínima de la parte superior del plano de falla bajo la superficie en km. Las fallas que afloran en superficie tienen una profundidad mínima de 0 km. E.g., 0.0

Max Depth (Profundidad máxima)

Profundidad sismogénica máxima de la falla en km (este valor varía normalmente entre 8 y 15 km, la profundidad de la falla puede ser mucho mayor pero este campo sólo tiene en cuenta la sección donde ocurre deformación frágil). E.g., 12.0

Width (Ancho del plano de falla)

Este campo aparece relleno automáticamente después de haber introducido los anteriores parámetros geométricos, aunque puede ser rellenado aparte. E.g., 12.8

Area (Área del plano de falla)

Este campo aparece relleno automáticamente después de haber introducido los anteriores parámetros geométricos, aunque puede ser rellenado aparte. E.g., 383.10

QUATERNARY ACTIVITY (ACTIVIDAD CUATERNARIA)

Quaternary Activity Evidence (Evidencias de actividad cuaternaria)

Este campo resume las principales evidencias de actividad cuaternaria relacionadas con la falla. E.g., *deformed Quaternary sediments, active-tectonics related landforms, triangular facets, offset channels, drainage pattern affections, topographic lineament,...*

QAFI v.4 Descripción de los campos



Age of the youngest deposits or landforms affected by the fault (Edad de los depósitos o formas del terreno más recientes afectados por la falla)

Edad de los depósitos (sedimentos, formaciones) o formas del terreno cuaternarias más jóvenes afectados por la actividad de la falla. Esta edad puede mostrarse como una edad absoluta (derivada de análisis geocronológicos de laboratorio), ya sea como un dato único (e.g., 13 ka) o en forma de rango (e.g., 10-15 ka) o de edad mínima (e.g., >25 ka); o en términos relativos a los estadios del Cuaternario (e.g., Upper Pleistocene). ka: kiloyears ago (kiloaños atrás).

Strength Class (Solidez)

Clasificación de la solidez de la evidencia de actividad cuaternaria (*Strength of the Quaternary Evidence*), A: Evidencias directas de trabajo de campo o de geofísica de alta resolución; B: Evidencias inferidas de observaciones a escala de detalle o de perfiles sísmicos multicanal de buena calidad; C: Observaciones a escala regional o de perfiles sísmicos multicanal de baja calidad. Un signo “+” indica que las evidencias son consistentes a lo largo de la traza de falla. E.g., A+. Más información en García-Mayordomo and Martín-Banda (2015).

Vertical Slip Rate (VSR, Tasa de deslizamiento en la vertical)

Indica la mejor estimación, o la estimación preferida, de la tasa de deslizamiento medida en la vertical, en m/ky (metros/kiloaños). E.g., 0.050

Horizontal Slip Rate (HSR, Tasa de deslizamiento en la horizontal)

Indica la mejor estimación, o la estimación preferida, de la tasa de deslizamiento medida en la horizontal a lo largo de la dirección de la falla la vertical, en m/ky (metros/kiloaños). E.g., 0.045

Net Slip Rate (NSR, Tasa de deslizamiento neta)

Indica la mejor estimación, o la estimación preferida, de la tasa de deslizamiento neta (medida a lo largo del vector deslizamiento de la falla, o inferida de la VSR o HSR y del Dip (buzamiento) o Rake (cabeceo); ver las ecuaciones en el formulario Access) E.g., 0.069

Accuracy Class (Precisión)

Clasificación de la precisión de la estimación de la Tasa de Deslizamiento, A: Desplazamiento y Edad medidos en campo, y conociendo el vector deslizamiento; B: Desplazamiento o Edad medidos en campo, y conociendo el vector deslizamiento; C: Desplazamiento y Edad inferidos a escala regional y de los estadios del Cuaternario. E.g., B. Más información en García-Mayordomo and Martín-Banda (2015).

Maximum Slip per Event

Desplazamiento máximo por evento cosísmico medido en el campo o inferido de relaciones analíticas/empíricas, en m. E.g., 0.60

Number of Seismic Events

Número de eventos cosísmicos asociados a la falla en un periodo de tiempo concreto. E.g., 3-4 in 25 ky

Evidence of Aseismic Creep

Indica Yes or No según se tenga, o se sospeche que exista, evidencia de deslizamiento tipo *creep* (fluencia) en la falla sin generación de eventos de tamaño significativo (asísmico). E.g., No

QAFI v.4 Descripción de los campos



SEISMIC POTENTIAL (POTENCIAL SÍSMICO)

Maximum Magnitude (Magnitud máxima)

Estimación de la magnitud momento (M_w) máxima potencial de la falla o segmento de falla. E.g., 6.7. A diferencia de la versión 3, en que este campo era automáticamente calculado, en la versión 4 sólo se muestra cuando procede de una publicación (fuente de los datos: LD, Literature Data).

Reliability Rating of Max Magnitude (Nivel de Fiabilidad de la magnitud máxima)

Clasificación del nivel fiabilidad de la estimación de la magnitud máxima., A: Altamente fiable; B: Fiable; C: Pobremente fiable; D: Especulativa. E.g., A. Más información en García-Mayordomo and Martín-Banda (2015).

Recurrence Interval (Intervalo de recurrencia)

Indica la mejor estimación, o la estimación preferida, del tiempo medio entre grandes terremotos o terremotos máximos de la falla o segmento de falla, en años. E.g., 3500

Reliability Rating of Rec Interval (Nivel de fiabilidad del intervalo de recurrencia)

Clasificación del nivel de fiabilidad de la estimación del intervalo de recurrencia (o de cualquier otro parámetro de frecuencia de terremotos en la falla basado que esté basado en la magnitud máxima y la tasa de deslizamiento), A: Altamente fiable; B: Fiable; C: Pobremente fiable; D: Especulativa. E.g., B. Más información en García-Mayordomo and Martín-Banda (2015).

Date of last major earthquake (Fecha del último gran terremoto)

Fecha en años del último gran terremoto o terremoto máximo asociado a la falla o segmento de falla. E.g. 2720 BC, 4735 ka, 1550 AD,...

ASSOCIATED SEISMICITY (SISMICIDAD ASOCIADA)

Are there any significant historical and/or instrumental earthquakes related to the fault activity? (¿Hay algún terremoto significativo histórico y/o instrumental relacionado con la actividad de la falla?)

Marcando en la caja del Yes se active la base de datos de sismicidad asociada (ver los siguientes campos) E.g., x Yes

Name of the Event (Nombre del evento)

Indica el nombre por el cual se conoce comúnmente al terremoto o serie sísmica. También puede indicar el nombre de la población más cercana al epicentro del terremoto. E.g., Amer earthquake

Date (Fecha)

Fecha del terremoto o serie sísmica (formato libre). E.g., 19/03/1427

Location (Long., Lat.) (Localización)

Longitud y latitud del terremoto principal (formato libre). E.g., 2.583, 41.983

QAFI v.4 Descripción de los campos



Intensity and/or Magnitude (Intensidad y/o Magnitud)

Intensidad macrosísmica (EMS, MSK, ESI) y/o magnitud del evento principal (formato libre). E.g., *IEMS98 = VIII / Mw = 5.9*

Source of Seismic Data (Origen de los datos sísmicos)

Indica las Fuentes principales de información sobre el evento. E.g., *Instituto Geográfico Nacional, Institut Cartogràfic de Catalunya, Instituto Andaluz de Geofísica,...*

Basis for association (Base de la asociación)

Indica sobre qué base se ha realizado la asociación con la falla. E.g., *spatial correlation, isoseisms analysis, focal mechanism, aftershocks distribution, environmental effects distribution,...*

Brief Comment and/or References (Breve comentario y/o referencias)

Resume cualquier otra información relevante y/o las principales referencias bibliográficas sobre el evento. E.g., *Fontserè and Iglésies (1972), Perea (2006),...*

EXTENDED DATA AND REFERENCES (INFORMACIÓN ADICIONAL Y REFERENCIAS)

Extended Information (Información adicional)

Vínculo a un fichero en formato comprimido que contiene documentación sobre la falla o segmento de falla. Se advierte de que no se han cargado ningún documento con posterioridad a 2015.

References (Referencias)

Lista de las referencias bibliográficas consultadas y/o citadas en el proceso de compilación del registro.

ABOUT (ACERCA DE)

Muestra la autoría, instituciones involucradas y proyectos financiadores de la base de datos QAFI v.4. También se muestra información sobre como citar el concepto de la base de datos o un registro en particular. Toda esta información se encuentra disponible en el [About](#) de la versión web.

References citadas en este pdf

García-Mayordomo, J. and R. Martín-Banda (2015) *QAFI v.3 user's guide*. Instituto Geológico y Minero de España, Madrid, doi: 10.13140/RG.2.1.3534.2569

García-Mayordomo, J., Martín-Banda, R., Insua-Arévalo, J. M., Álvarez-Gómez, J. A., Martínez-Díaz, J. J., and Cabral, J. (2017) Active fault databases: building a bridge between earthquake geologists and seismic hazard practitioners, the case of the QAFI v.3 database, *Natural Hazards and Earth System Sciences*, 17: 1447–1459. <https://doi.org/10.5194/nhess-17-1447-2017>

QAFI v.4 Descripción de los campos



García-Mayordomo, J., C. Canora, R. Martín-Banda J.J. Martínez-Díaz, J.M. Insua-Arévalo, J.A. Álvarez- Gómez, J. Alonso-Henar, E. Masana, M. Ortuño, O. Gómez-Novell, H. Perea, Á. González, F. Martín- González, I. Martín-Rojas, E. Rodríguez-Escudero, J.M. Azañón, P. Villamor, J. Cabral, C. Moniz y R. Dias (2018) Trabajos de actualización de la base de datos de fallas activas en el cuaternario de Iberia (QAFI) a la versión 4: cambios en la forma y en el fondo. *3ª Reunión Ibérica sobre Fallas Activas y Paleosismología, 11-13 de Junio de 2018, Alicante, España*. <https://iberfault.org/home/>